

# Mécanismes élémentaires de production d'états quarkonium

IPN, orsay

22/04/05

plusieurs échelles :

$$m_Q (= m_c, m_b) \gg \{\Lambda_{QCD}, \alpha_s^m m_Q\} = \Lambda$$

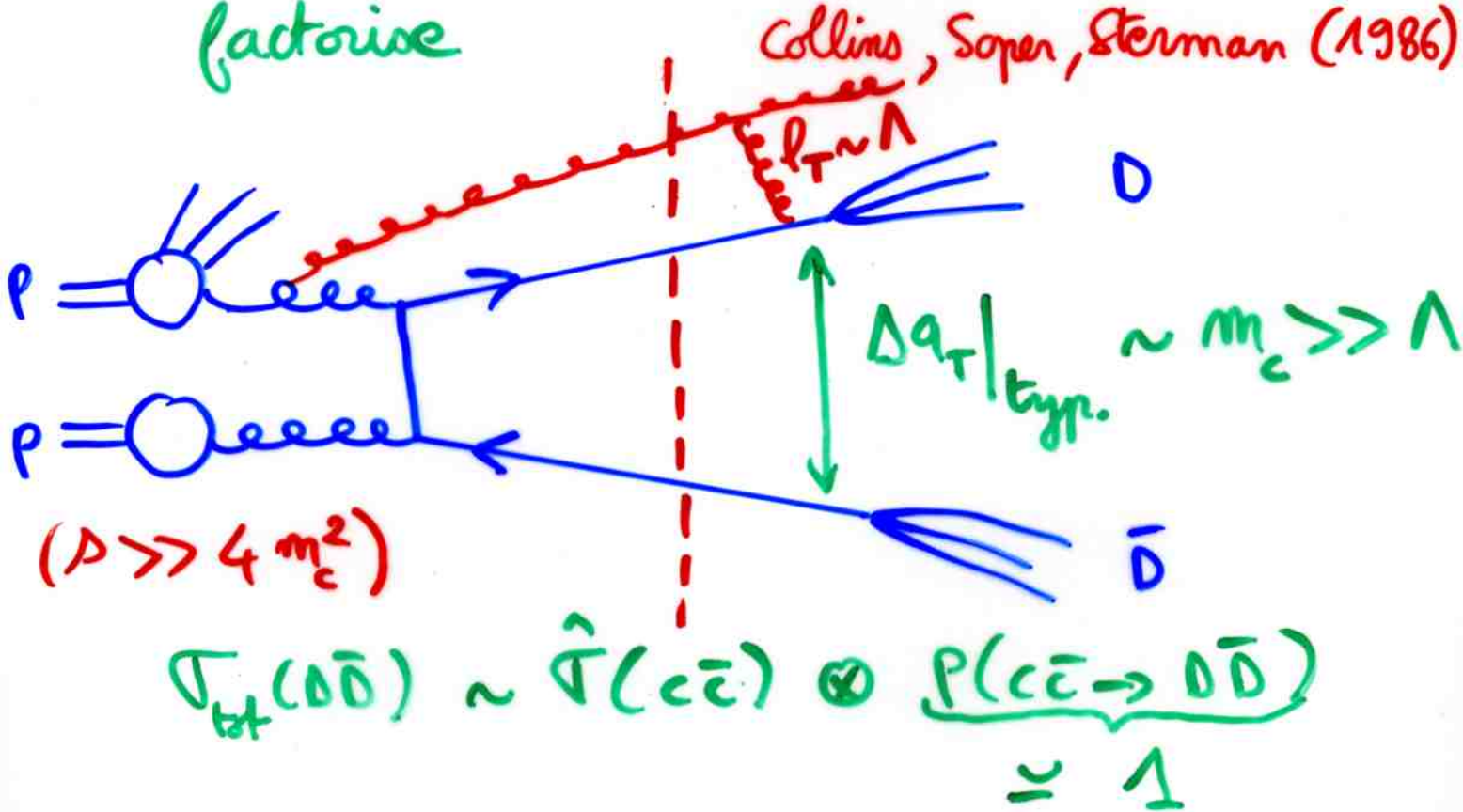
$\Rightarrow$  approximation NR pour  $\Psi = \{Q\bar{Q}\}$

$$( V_{Q\bar{Q}}(r) \sim -\frac{\kappa}{r} + \kappa r )$$

$\rightarrow$  description des familles  $\{c\bar{c}\}, \{b\bar{b}\}$

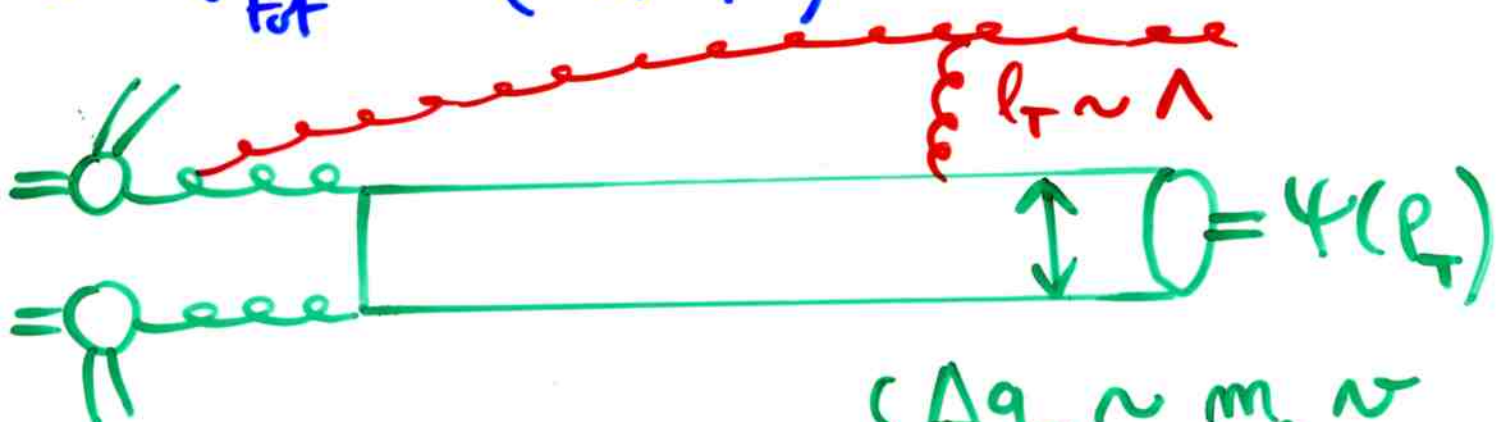
$\Rightarrow$  hadroP° de "charme ouvert" se factorise

Collins, Soper, Sterman (1986)



# Production d'état lié ?

- $\Gamma_{\text{tot}}^{\text{hadro}} (\gamma/\gamma)$



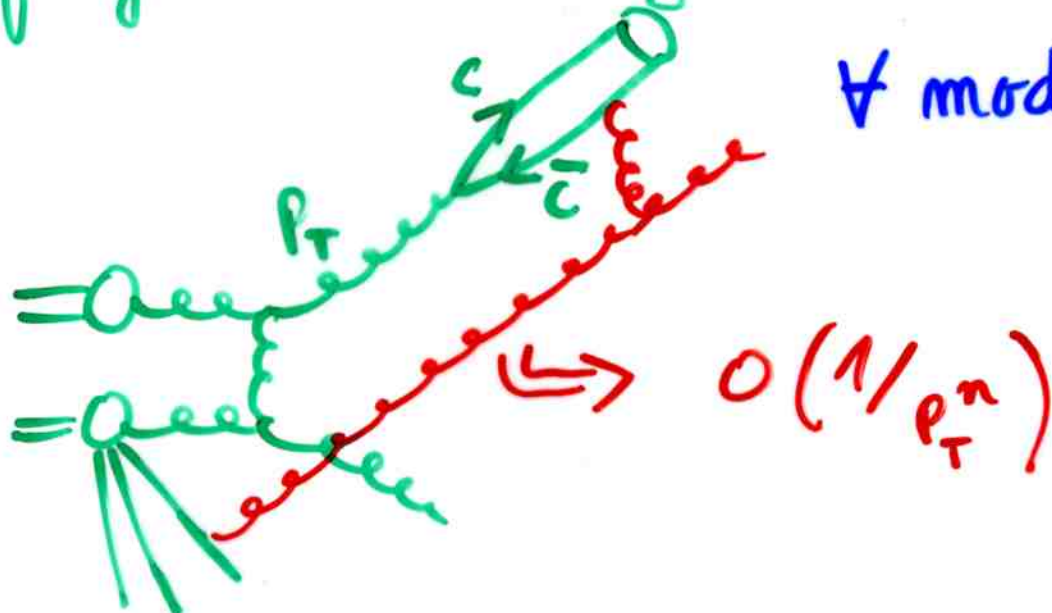
pas de factorisation à  $p_T \lesssim m_c$ .

- $d\Gamma^{\text{hadro}}/dp_T$  ( $p_T \gg m_c$ )

fragmentation de gluon

Braaten, Yuan (93)

modèle de  $P^\circ$



$$d\Gamma(p_T) \sim d\hat{\Gamma}(g(p_T)) \otimes D_{g \rightarrow \psi}(z)$$

$$+ O(m_c^2/p_T^2)$$

moins clair : "factorisation":

$$D_{g \rightarrow 4} = \sum_{[n]} d_{g \rightarrow c\bar{c}[n]} \underbrace{\langle \hat{\mathcal{O}}^4_{[n]} \rangle}_{P(c\bar{c}[n] \rightarrow 4)}$$

(COM)

- suggéré par Bodwin, Braaten, Lepage (1995)
- factorisation non démontrée complètement

Bodwin hep-ph/0312173

Nayak, Qiu, Sterman hep-ph/0501235  
 ↳ factorisation peut-être invalide

---

- CEM, CSM, COM supposent la factorisation :

$$d\Gamma(4) \sim d\hat{\Gamma}(c\bar{c}) \otimes P(c\bar{c} \rightarrow 4)$$

(à  $p_T \lesssim m_c$  et  $p_T \gg m_c$ )

- diférent par  $P(c\bar{c} \rightarrow 4)$

- vu le statut de la factorisation :

confrontation aux données = test de l'hyp.  
 de fact.

# Color Evaporation Model (CEM)

Fritsch, Halzen, Matsuda  
(1977)

$$\Gamma_\Psi = f_\Psi \int_{2m_c}^{2m_D} dm_{c\bar{c}} \frac{d\Gamma_{c\bar{c}}}{dm_{c\bar{c}}}$$

Postulat : ajustement de  $\{^{2S+1}L_J, \text{couleur}\}$   
par émission de gluons mous.

- $P^\circ$  non polarisée

$\Gamma(2S+3S)$  transverse

□

- $\frac{\Gamma(Hn)}{\Gamma(H_2)}$  universels

$$\left. \frac{\chi_2}{J/4} \right)_{\delta p \rightarrow \Psi + \chi} < 0.3 ; \left. \frac{\chi_2}{J/4} \right)_{hN} = 1.8 \pm 0.4$$

(NA14, 1989) (E705)

- $\Gamma_\Psi(A) = \Gamma_{D\bar{D}}(A)$

$$\Gamma_{D\bar{D}} \propto A^1 \quad (\text{E789}) ; \quad \Gamma_\Psi(A) \propto A^{0.92} \quad (\text{E866})$$

# Color Singlet Model (CSM)

5

Kühn, Chang, Baier & Rückl, ...  
(1980's)

Traitement explicite des nbs quantiques :

$$\mathcal{M}(J/4) \sim \begin{array}{c} \text{---} \\ \text{---} \\ \text{---} \end{array} \left| \begin{array}{c} \text{---} \\ \text{---} \\ \text{---} \end{array} \right| \quad \boxed{0 = J/4 \propto R_4(0)} \\ [{}^3S_1, 1]$$

- CSM sous-estime  $\Gamma_{\text{hadro}}^4$

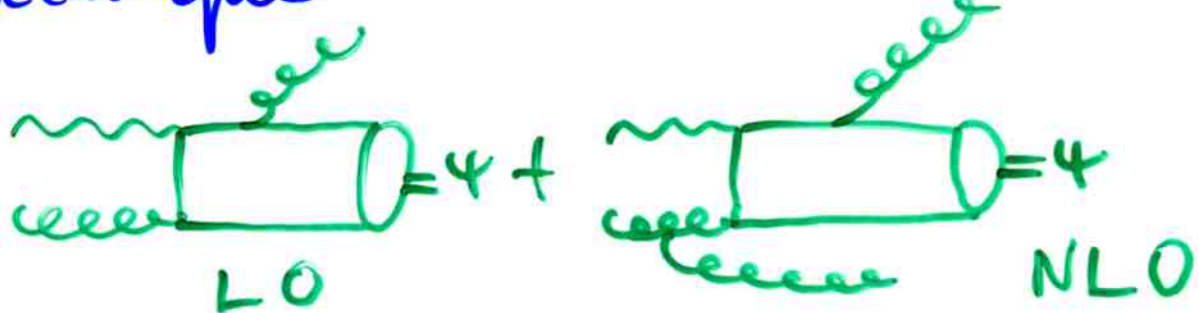
- $p_T \lesssim m_c$  (cible fine) □
- $p_T \gg m_c$  (TeVatron) □

- CSM non complet théoriquement

CSM (NLO) consistant avec  $\Gamma_{\gamma p^0}^4$

$\gamma p^0$  inélastique

CSM



H1, zEUS

□

DIS

H1 comparé au CSM (LO)

□

Kniehl, hep-ph/0210217

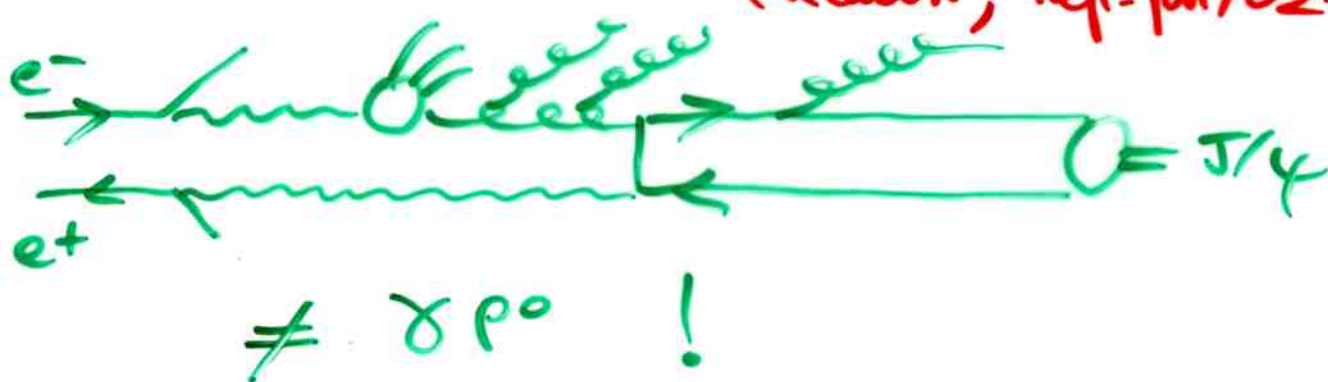
$\gamma\gamma$

DELPHI,  $p_T \leq 3$  GeV hep-ex/0307069

$$\frac{\Gamma_{\gamma\gamma}}{\text{CSM}} \gtrsim 10$$

Processus avec  $\gamma$  résolu dominant

(Klasen, hep-ph/0210144)



# NRQCD

Caswell, Lepage (1986)

Bodwin, Braaten, Lepage (1995)

NRQCD = théorie effective issue de QCD avec quarks lourds

- décrit  $p \sim m_Q \sim$

→ théorie complète des désintégrations de quarkonium

→ mécanismes "octet de couleur", contribuant aussi à la production:

$$\Gamma_4 \supseteq \sum_n \Gamma_{Q\bar{Q}(n)} \langle \hat{O}_{(n)}^4 \rangle$$

$\stackrel{?}{=}$

( $(n) = \text{singulet ou octet}$ )

$\langle \hat{O}_{(n)}^4 \rangle = P(Q\bar{Q}(n) \rightarrow 4 + X)$  non perturbatif;  
"scaling" en  $v$  prédit par NRQCD

$\stackrel{?}{=}$  suggérée par BBL

$$p_T \gg m_c : \quad \bar{\bar{?}} \quad \Rightarrow$$

$$D_{g \rightarrow 4^{(z)}} = \sum_{[n]} d_{g \rightarrow Q\bar{Q}[n]} \langle \hat{O}_{[n]}^4 \rangle$$

COM pour la production =  
NRQCD + hyp. de factorisation

Succès :

- cadre théorique pour "anomalie du 4"
- $\gamma\gamma \rightarrow J/\psi + X$  (LEP2)

Difficultés :

- $\gamma p^0$  à HERA
- Polarisation de  $J/\psi$  /  $4^{(\prime)}$  à  $p_T \gg m_c$  □  
explication ?
- $\langle \hat{O}_{[n]}^4 \rangle_{\text{spin-flip}}$  anormalement grand ?  
... peut-être pas Bodwin, Lee, Sinclair  
[hep-lat/0503032](https://arxiv.org/abs/hep-lat/0503032)
- pb avec la factorisation ?  
... peut-être Nagak, Qiu, Sterman

$$\langle \hat{\mathcal{O}}_8^4 \rangle \sim \text{Diagram} \quad \begin{matrix} t=0 & t=+\infty \end{matrix}$$

$$\sim \langle [x^+ k_a^\perp \psi(0)] a_\psi^+(0) a_\psi(0) [\psi^+ k_a^\perp x(0)] \rangle$$

inv. de gauge  $\Rightarrow$

$$\langle [x^+ k \psi(0)] b \Phi(0, \infty) a_\psi^+(\infty) a_\psi(\infty) \Phi(\infty, 0) c [\psi^+ k' x(0)] \rangle$$

$$\Rightarrow \text{Diagram} \quad \begin{matrix} l \\ f=1=f \\ r \end{matrix}$$

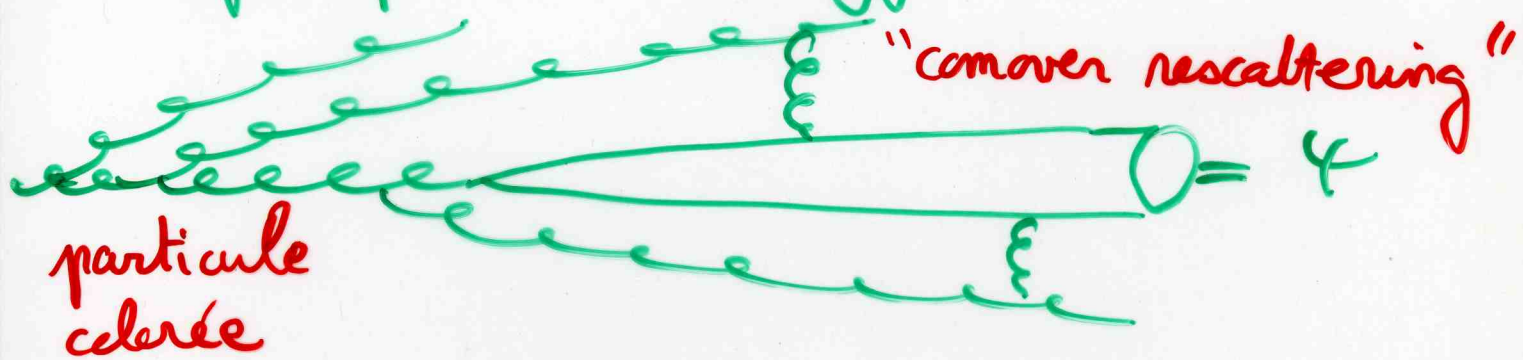
NNLO, contribue à  $D(g \rightarrow 4)$ ,  
contient div. IR modifiant  $\langle \hat{\mathcal{O}}_8^4 \rangle$

## CONCLUSION

- CEM, CSM : pbs et non complets
- COM = NRQCD + hyp. de fact°  
 → pb avec polarisation de 4 à  
 $P_T \gg m_c$   
 → fact° invalide ?
- Modèles sans factorisation .
- Comover Enhancement Scenario

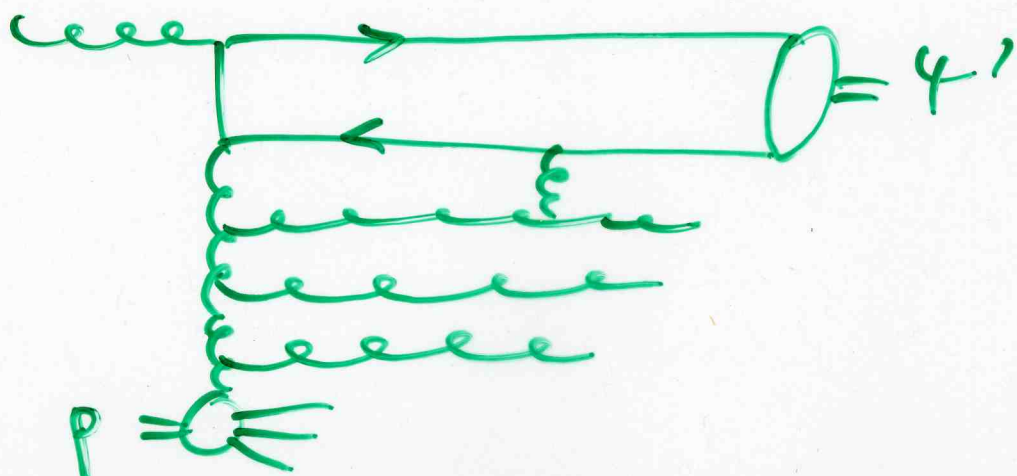
P. Hoyer , S.P.  
hep-ph/9806424

analyse qualitative suggère :



- Khoze , Martin , Rytkin , Stirling  
hep-ph/04 10 020

nouveau mécanisme :



explique l'anomalie du  $4'$  dans le cadre du CSM !!

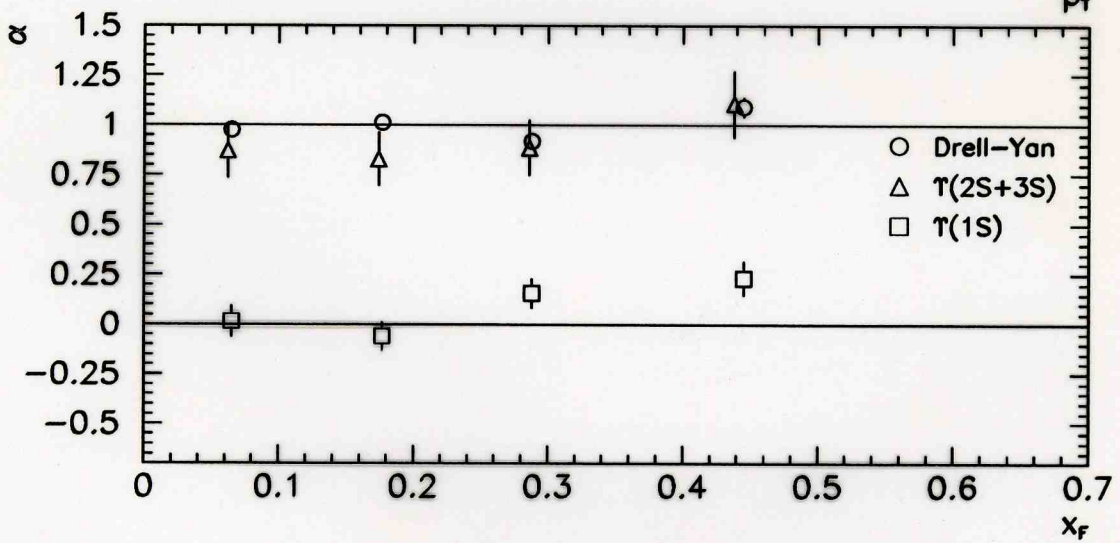
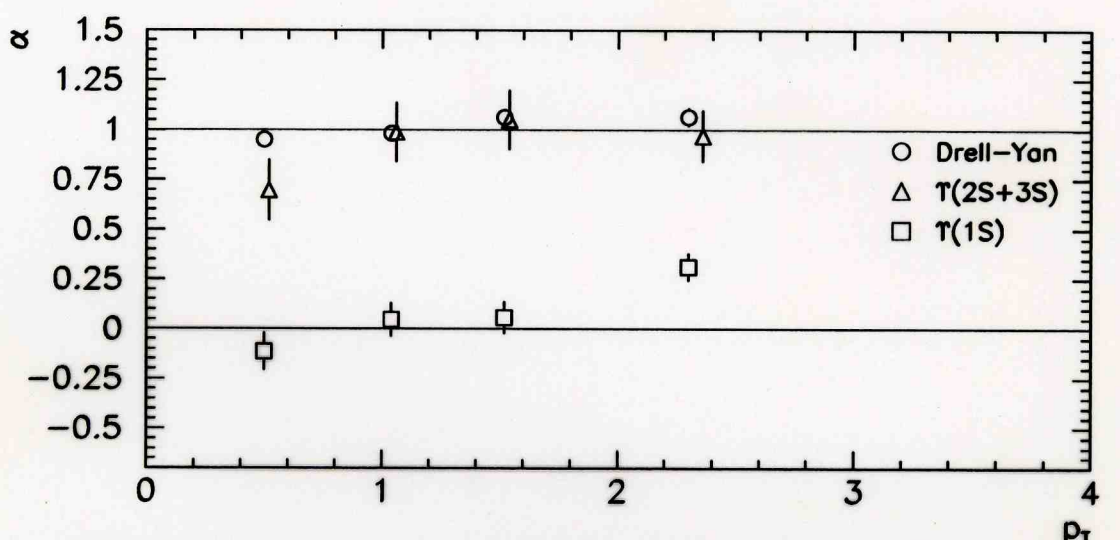
$\alpha_s \ll 1$  compensé par  $m_{\text{gluons}} \gg 1$

---

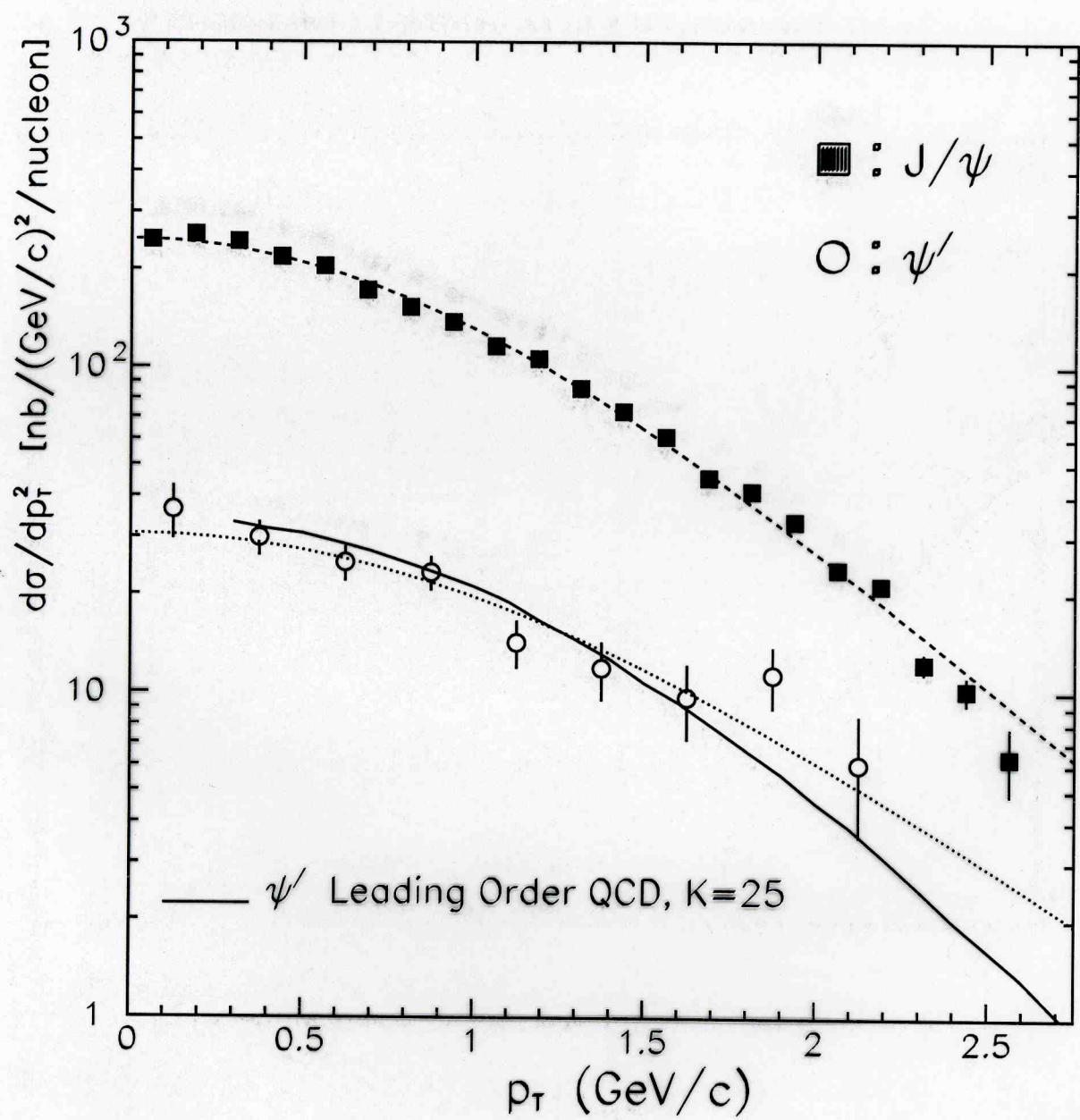
En l'absence d'effets nucléaires,  
la production de quarkonium  
n'est pas encore totalement  
comprise .

Brown et al., E866/NuSea Collab., hep-ex/0011030

$$\frac{d\Gamma}{d \cos \theta_\mu} \propto 1 + \alpha \cos^2 \theta_\mu$$

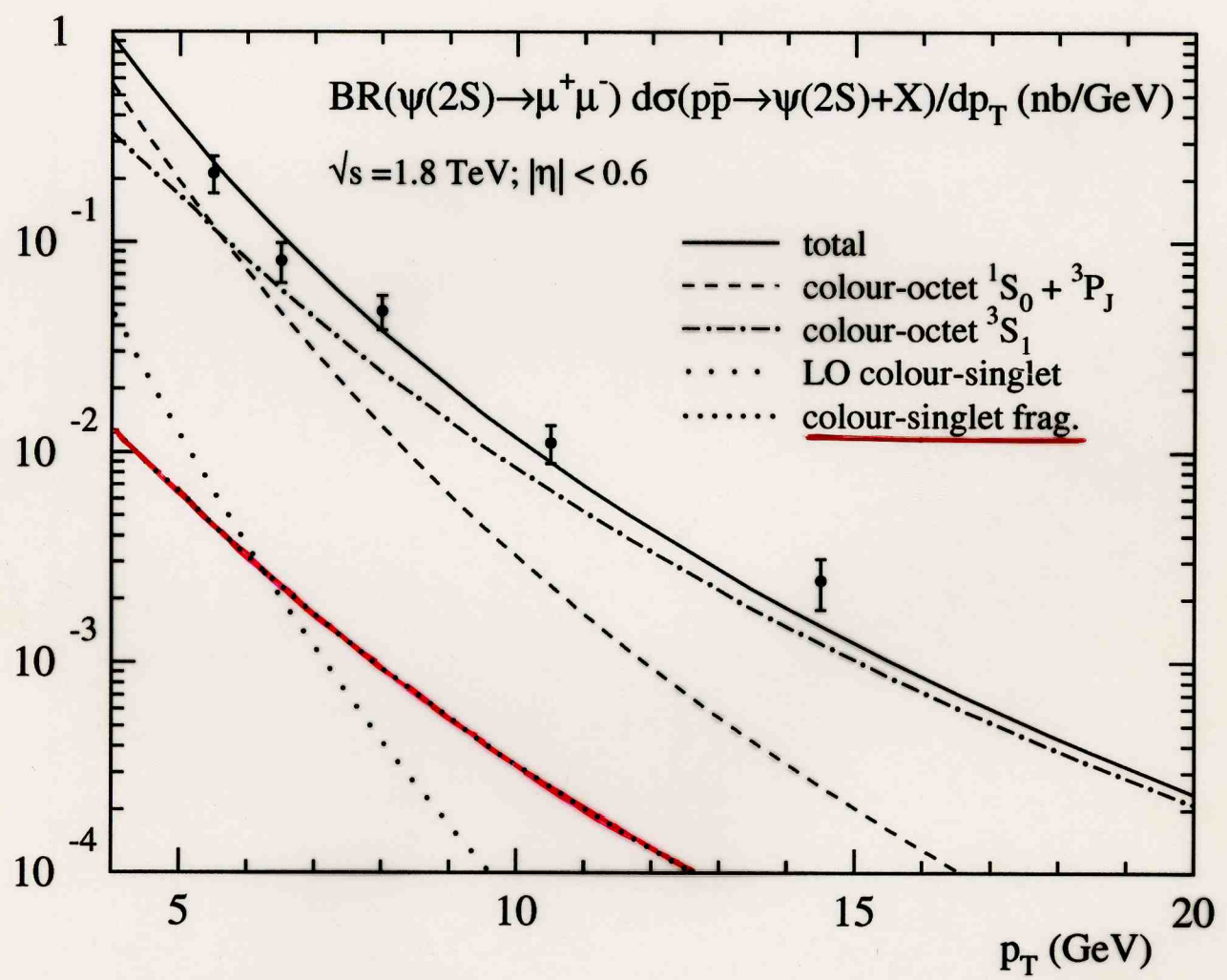


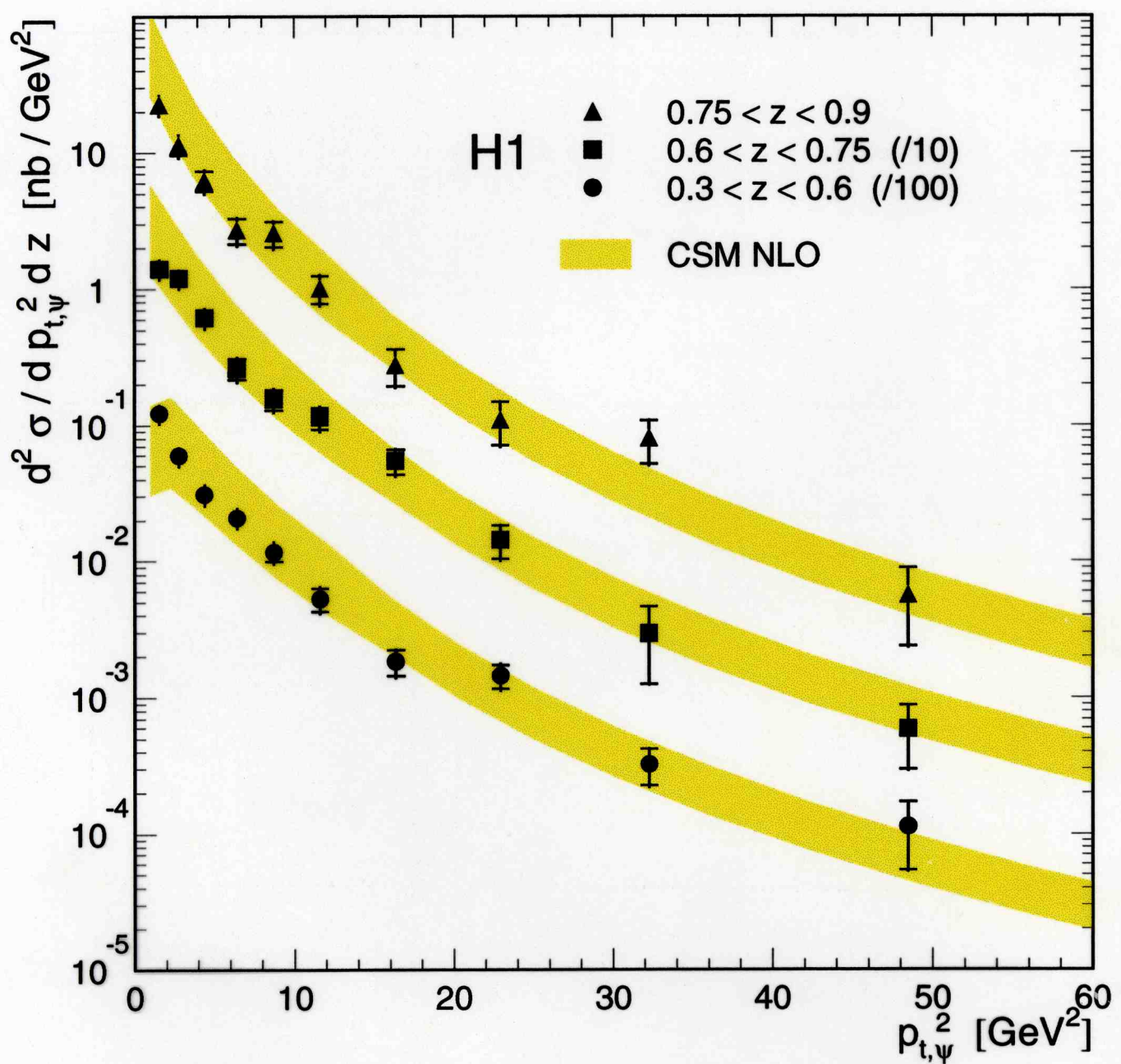
E789 Collab., hep-ex/9610003

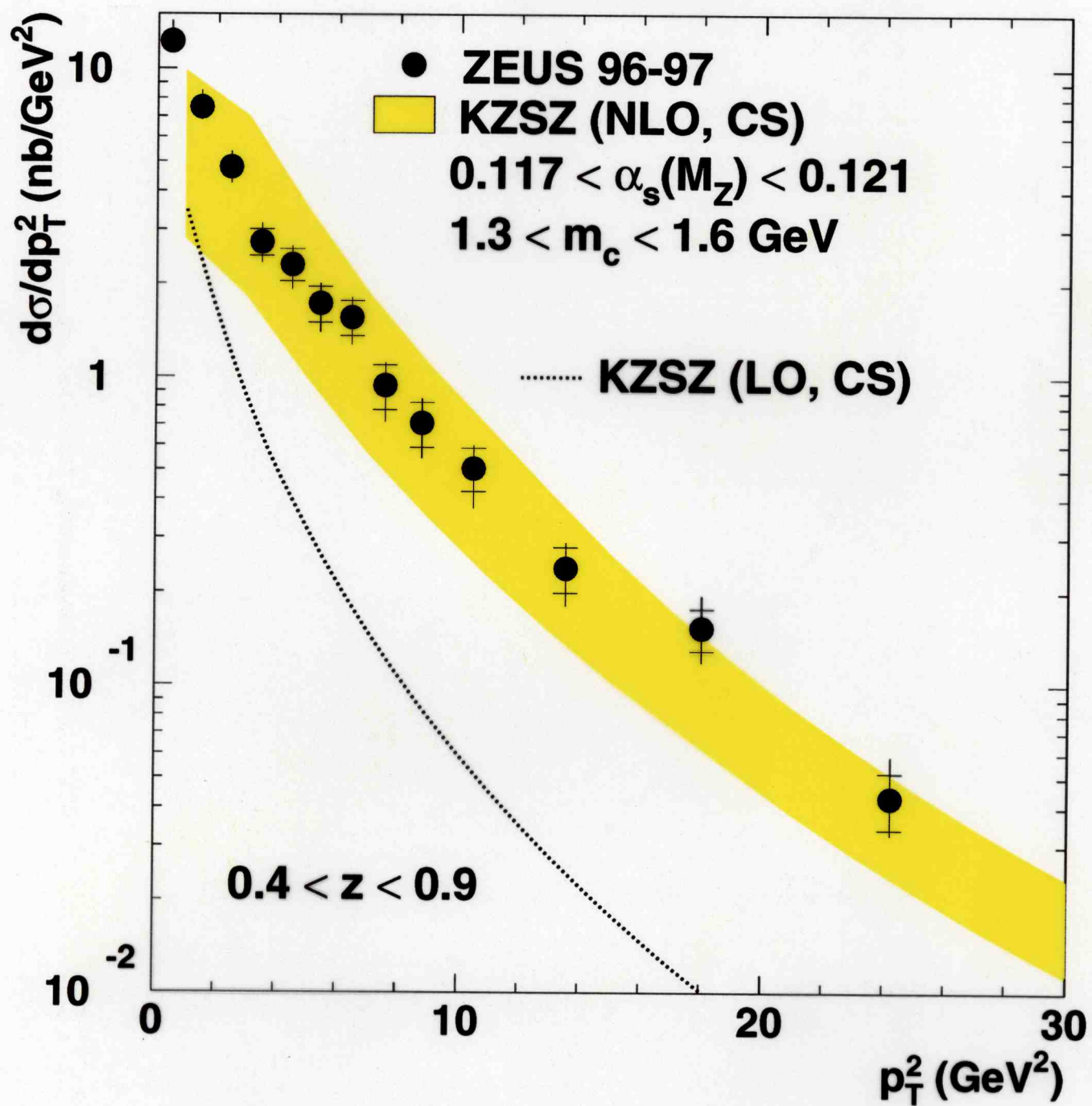


Michael Krämer, hep-ph/0106120

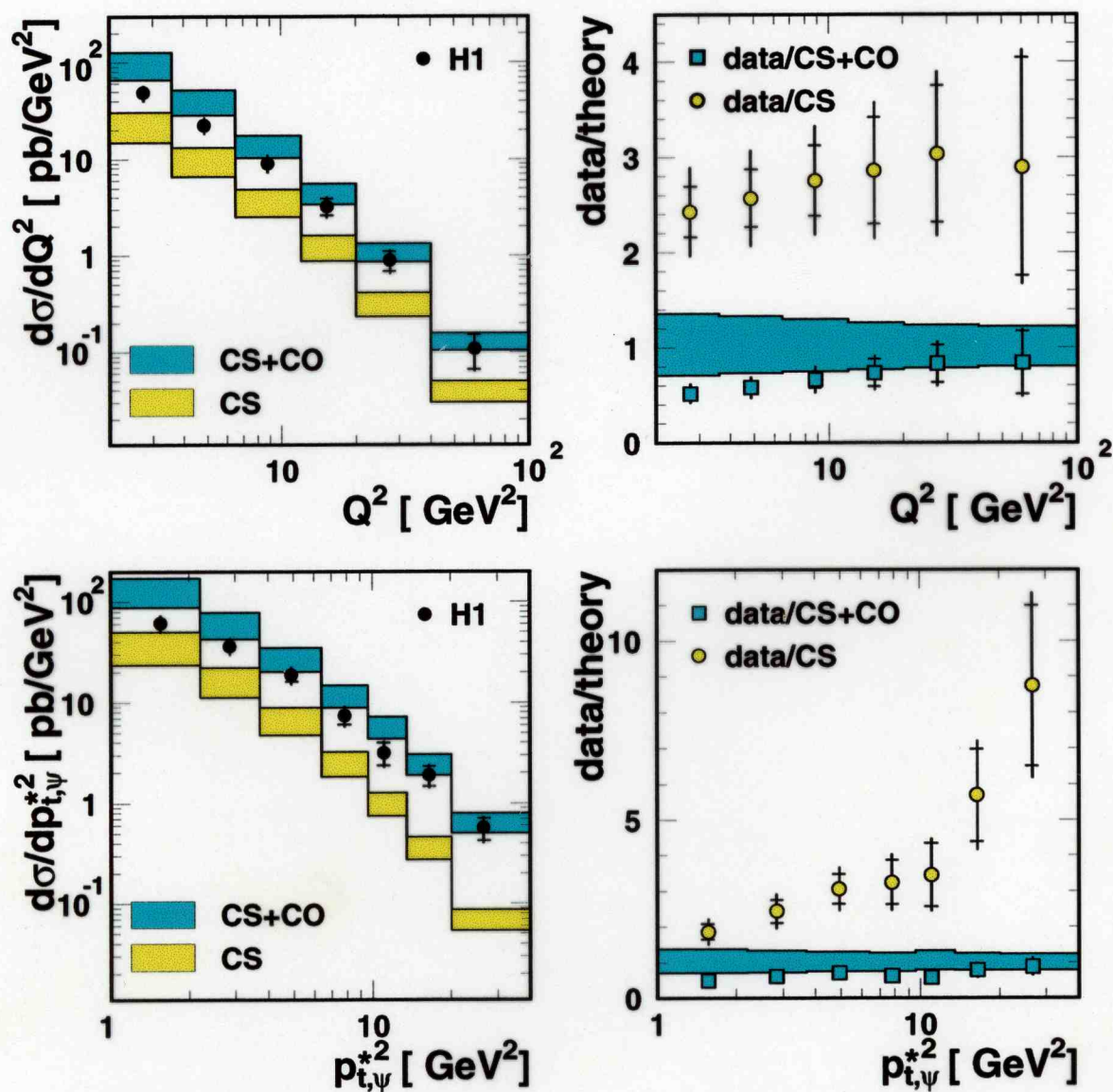
direct  $\psi(2S)$  ‘anomaly’



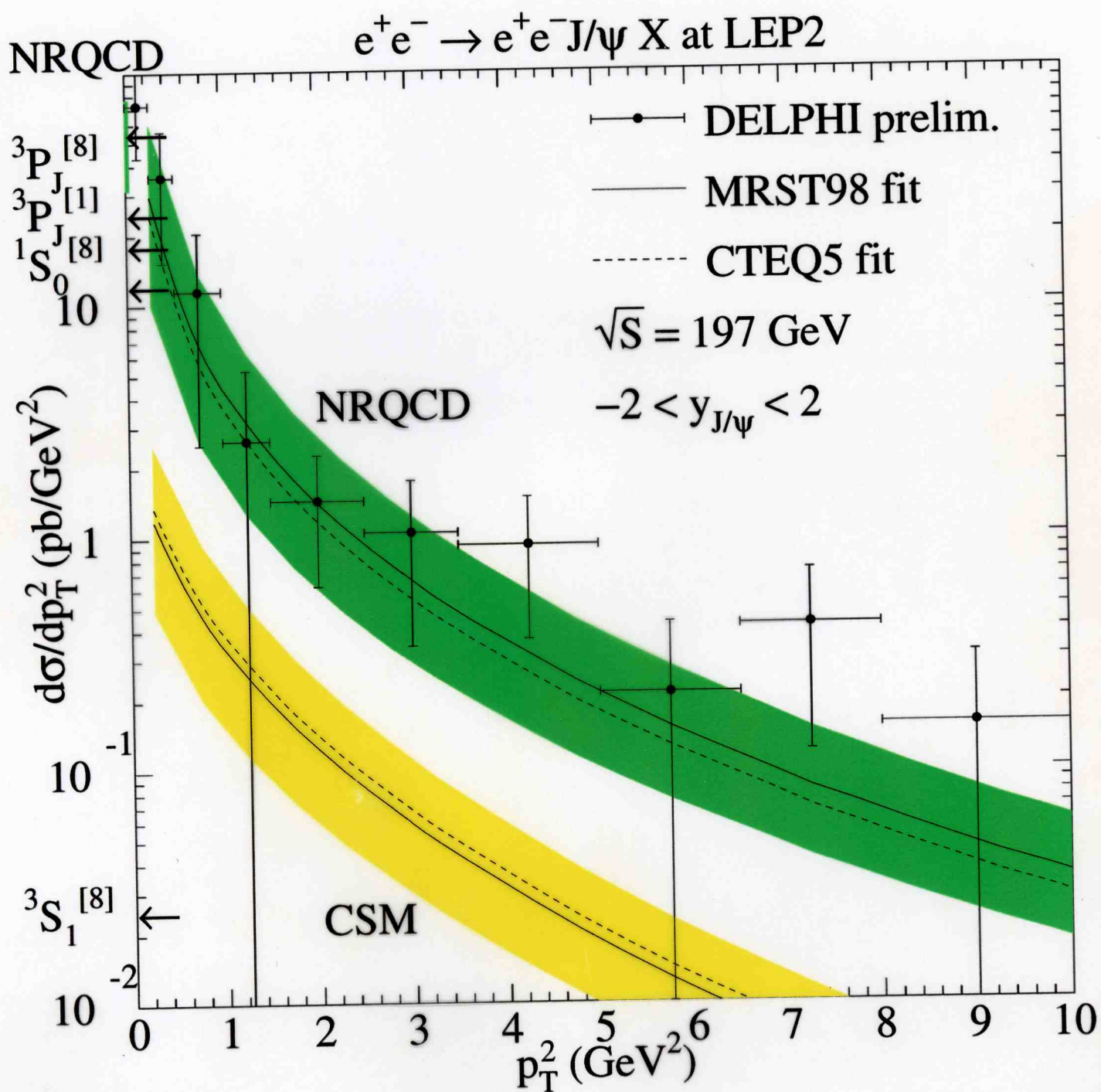
Inelastic  $J/\psi$  photoproduction

Inelastic  $J/\psi$  photoproduction**ZEUS**

$J/\psi$  production in DIS



$J/\psi$  production in  $\gamma\gamma$  collisions



*J/ψ* and  $\psi'$  polarization at the Tevatron

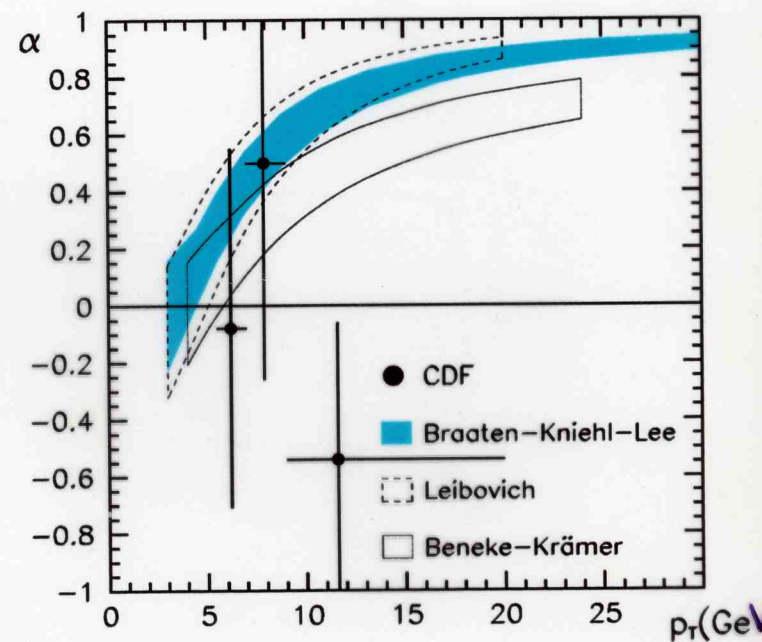
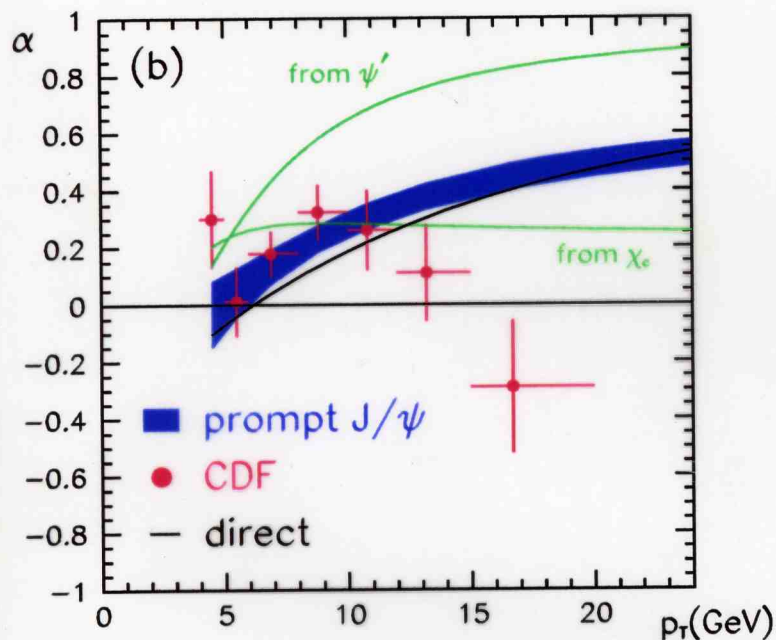


Figure 1: Left-hand side:  $J/\psi$  polarization at the Tevatron. The band is the total NRQCD-factorization prediction. The other curves give the contributions from feeddown from higher charmonium states. Right-hand side:  $\psi'$  polarization at the Tevatron. The bands give various NRQCD-factorization predictions. The data points are from the CDF measurement.